

斜めスラブアーチの自由振動

岐阜大学工学部 正員 井上 肇

" " 近藤 昇

岐阜大学大学院 学生員 ○前田 春和

斜めスラブアーチの解析については、すでに著者等が、いくつかの報告を行なっているが^{1), 2), 3)} その自由振動については、まだ十分に把握していなかった。そこで静的解析において試みた折れ板モデルを用いた有限要素法によるもの^{1), 2)} および、著者の1人が前からいくつかの構造物に適用した Hermite 階差法による数値解析法による解析と、他方では 模型を振動台上で加振する実験的な方法との双方より、そり接近を試みた。

階差法による解析は、斜めスラブアーチの釣合条件式(1), (1)' および 断面力と変位との関係(3)を斜交座標によって表現し、それと Hermite 階差法を適用した。

釣合条件式

$$\left. \begin{aligned} N'_z + N'_{z0} \cos \beta + R \bar{X} &= 0 \\ N'_0 \cos \beta + N'_{0z} + R \bar{Y} &= 0 \\ Q'_z + Q'_{z0} \cos \beta + N'_0 \cos \beta + R \bar{Z} &= 0 \\ M'_0 \cos \theta + M'_{0z} - Q'_{z0} R \cos \beta &= 0 \\ M'_z + M'_{0z} \cos \theta - Q'_{z0} R \cos \beta &= 0 \\ N'_{z0} - N'_{0z} &= 0 \end{aligned} \right\} (1)$$

これらを整理して ($M'_{z0} \approx M'_{0z}$ と仮定)

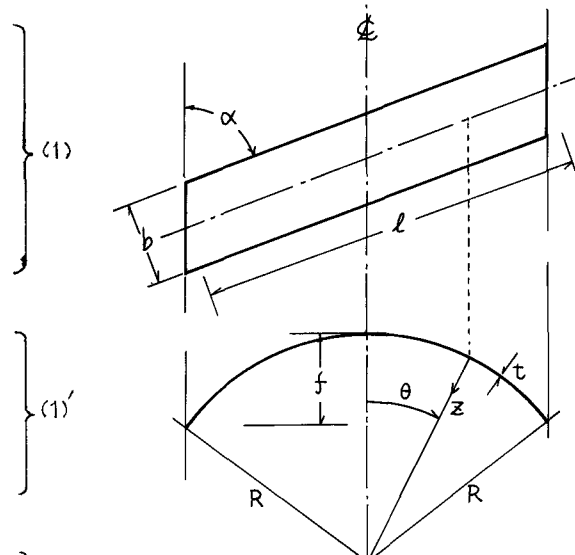
$$\left. \begin{aligned} N'_z + N'_{z0} \cos \beta + R \bar{X} &= 0 \\ N'_0 \cos \beta + N'_{0z} + R \bar{Y} &= 0 \\ M''_z + 2M'_{z0} \cos \beta + M''_0 \cos^2 \beta \\ + N'_0 R \cos^2 \beta + R^2 \bar{Z} \cos \beta &= 0 \end{aligned} \right\} (1)'$$

ここで $\bar{X}, \bar{Y}, \bar{Z}; x, y, z$ 方向への慣性力

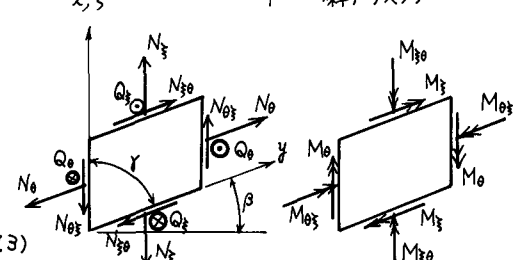
$$\left. \begin{aligned} (\)' = \frac{\partial}{\partial \xi} (\), (\)' = \frac{\partial}{\partial \theta} (\) \\ dy = R \cos \beta \cdot d\theta \end{aligned} \right\} (2)$$

断面力と変位との関係

$$\left. \begin{aligned} N_z &= K^* \{ u' + a_1 (v \cos \beta - w) + a_3 (\dot{u} \cos \beta + v') \} \\ &\quad - \frac{D^*}{R^2} (w'' + a_1 \cos^2 \beta + 2a_3 w' \cos \beta) \\ N_0 &= K^* \{ \dot{v} \cos \beta + a_1 u' + a_3 (\dot{u} \cos \beta + v') - w \} \\ N_{0z} &= N'_{z0} = K^* \{ \frac{1}{2} a_2 (\dot{u} \cos \beta + v') + a_3 (u' + \dot{v} \cos \beta - w) \} \\ M_z &= -D^* \{ -\{ u' + a_1 (v \cos \beta - w) + a_3 (\dot{u} \cos \beta + v') \} \\ &\quad + (w'' + a_1 w' \cos^2 \beta + 2a_3 w' \cos \beta) \} \\ M_0 &= -D^* \{ w' \cos^2 \beta + a_1 w'' + 2a_3 w' \cos \beta \} \end{aligned} \right\} (3)$$



斜アーチスラブ



斜交座標系

$$R d\theta = dy \cos \beta, \quad \cos \gamma = \sqrt{1 + \tan^2 \alpha \cdot \cos^2 \theta}$$

$$M_{30} = M_{03} = -D^* \{ a_2 \omega'' + a_3 (\omega'' + \omega'' \cos^2 \beta) \}$$

$$\text{ここで, } D^* = E t^3 / 12 R^2, E^* = E \sec^3 \beta / (1 - \nu^2), a_1 = i \sin^2 \beta + \nu \cos^2 \beta, a_2 = 1 + i \sin^2 \beta - \nu \cos^2 \beta$$

$$a_3 = i \sin \beta, \quad E, \nu, t; \text{ シェル材料の弾性係数, ポアソン比, 板厚}$$

(1Y), (3) 中の微係数を、その点のみならず、座標方向の全部の点を用いて表現しようとするのが Hermite 階差法である。即ち、 x_i' , x_i'' については

$$A_1 X + A_2 X'' + B_1 X = 0, \quad B_2 X'' + B_3 X = 0 \quad (4)$$

; 係数行列 (A_1, B_1 は一般には単位行列, 対角行列ではない)。この(4)を (1)', (3) に適用して、境界条件を考慮しつつ、振動数方程式を導くことが出来たが、ここでは割愛する。

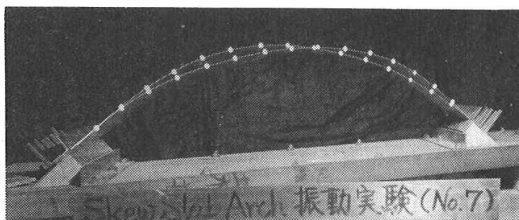


写真1. 水平加振 10.8 Hz.

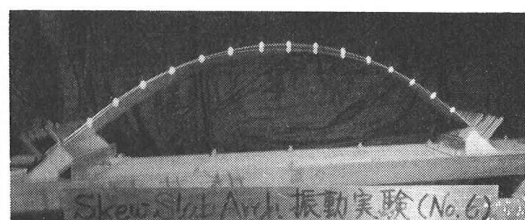


写真2. 垂直加振 27.7 Hz.

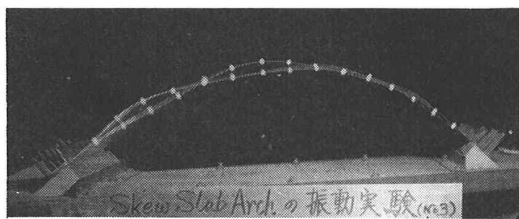


写真3. 垂直加振 36.6 Hz.



写真4. 水平加振 38.3 Hz.

斜めスラブアーチの自由振動については、すでにその一部を報告したが¹⁾、そりとさの模型は比較的大型かつ、剛であるため、2次以上の振動数まで加振できなかったため、そり約半分の寸法、板厚を $\frac{1}{4}$ にした小型模型で振動実験を行なった。その振動モードを写真1～4に示す。この模型は、板厚/半径比は約 $1/1000$ できわめて薄く、十分にスラブアーチとしての曲げ作用がないと考えられるが、アーチにみられる振動性状²⁾をも、ていることより、スラブアーチとしての挙動があることが確かめられた。また、同一スペイン、同一サイズの直アーチに比べて、多少、剛性が省り、ことに鋭角部側の剛性が、鈍角部側の剛性に比べて小さいことが、振動モードからも判断できる。換言すれば、鈍角部の支承付近にはかなりの応力の集中があることが、推定できる。

実験および計算の結果の詳細については、講演当日にゆずる。

参考文献

- 井上、近藤、前島ほか：斜めスラブアーチの応力解析。土木学会中部支部研究発表会講演概要集 1)昭46, 2)昭47, 3)昭48
- 4)井上； Hermite 階差法による構造物の固有振動解析；土木学会第25回年次学術講演会概要集 I. 昭45
- 5). Morley, L. S. ; skew plates and structures, Pergamon Press, 1963
- 6) Wallheim, F. W.; Schwingungszahlen und Schwingungsformen von Kreisbogenträgern, Ing-Archiv, V. 42 (1934)